

В. С. З а р у б и н, Г. Н. К у в ы р к и н,  
И. Ю. С а в е л ь е в а

## **ЭФФЕКТИВНЫЙ КОЭФФИЦИЕНТ ТЕПЛОПРОВОДНОСТИ КОМПОЗИТА ПРИ НЕПРЕРЫВНОМ ИЗМЕНЕНИИ ТЕПЛОПРОВОДНОСТИ ПРОМЕЖУТОЧНОГО СЛОЯ МЕЖДУ ШАРОВЫМИ ВКЛЮЧЕНИЯМИ И МАТРИЦЕЙ**

*Построена математическая модель переноса тепловой энергии в композите с включениями шаровой формы (в общем случае в виде полых шаров). Между включением и матрицей предполагается наличие промежуточного слоя, в котором коэффициент теплопроводности изменяется непрерывно между его значениями для включения и матрицы. Получены оценки эффективного коэффициента теплопроводности такого композита, в том числе с применением двойственной формулировки вариационной задачи стационарной теплопроводности в неоднородном твердом теле. Проведенный параметрический анализ позволил установить области применения найденных оценок, которые могут быть использованы для прогноза эффективного коэффициента теплопроводности композитов, в частности, модифицированных наноструктурными элементами*

**E-mail: zarubin@bmstu.ru, gnk1914@mail.ru, inga\_fn2@mail.ru**

**Ключевые слова:** композит, эффективный коэффициент теплопроводности, включение, матрица, промежуточный слой

Реализация возможности модификации композитов наноструктурными элементами (в том числе фуллеренами), имеющими высокие механические характеристики, позволит улучшить макроскопические характеристики композитов в целом как конструкционных материалов. Для теплонапряженных конструкций, испытывающих одновременно как механические, так и тепловые воздействия, помимо информации о механических характеристиках композита необходимо располагать данными и о его теплофизических свойствах (в частности, о коэффициенте теплопроводности). Эффективное значение коэффициента теплопроводности композита, модифицированного наноструктурными элементами, зависит от их объемной концентрации  $C_V$ , от соотношения между коэффициентами теплопроводности матрицы и применяемых при модификации элементов, а также от условий теплового контакта между этими элементами и матрицей. Эти условия могут быть связаны с возможным химическим взаимодействием включения и матрицы, приводящим к образованию между ними промежуточного слоя, коэффициент теплопроводности которого будет отличаться от коэффициентов теплопроводности как включения, так и матрицы.

В данной работе ограничимся рассмотрением композита, модифицированного элементами в виде полого шара, который можно считать допустимым приближением к геометрической форме фуллерена [1]. Известно [2], что фуллерены при определенных условиях могут взаимодействовать с материалом полимерной матрицы. В этом случае атомы углерода устанавливают химические связи с атомами и молекулами, входящими в состав матрицы, что приводит к образованию промежуточного слоя между фуллереном и матрицей. Такой слой может возникнуть и при модификации композита включениями иной природы.

Математическую модель переноса тепловой энергии в композите построим в предположении, что шаровые включения в общем случае не контактируют между собой, т.е. отделены друг от друга слоем материала матрицы. Композит считаем состоящим из множества составных шаровых частиц с наружным радиусом  $R_2$ , каждая из которых включает полый шар с наружным радиусом  $R_1$ , окруженный промежуточным шаровым слоем толщиной  $R_* - R_1$ , и шарового слоя толщиной  $R_2 - R_*$  из материала матрицы. Примем, что такая составная частица является представительным элементом структуры композита и в тепловом отношении взаимодействует с неограниченным массивом однородного материала, коэффициент теплопроводности  $\lambda$  которого подлежит определению как эффективная характеристика композита. Таким образом, модель композита содержит четыре фазы: включение, промежуточный слой, слой матрицы и неограниченный массив однородного материала. При этом отношение  $R_1^3/R_2^3$  будем считать объемной концентрацией  $C_V$  включений в композите.

Рассмотрим тепловое взаимодействие отдельно взятой составной частицы и окружающего ее однородного материала, полагая коэффициенты теплопроводности  $\lambda_1$  и  $\lambda_2$  материалов соответственно полого шара и матрицы заданными, а коэффициент теплопроводности промежуточного слоя непрерывно изменяющимся между значениями  $\lambda_1$  и  $\lambda_2$ . Тепловой контакт на каждой из сферической поверхности, разделяющей контактирующие фазы, примем идеальным.

Центр полого шара с внутренним радиусом  $R_0$  поместим в начале сферической системы координат. Примем, что на большом расстоянии  $r \gg R_2$  от начала координат задан вектор градиента температурного поля в однородном материале, направленный по оси сферической системы координат, от которой происходит отсчет угловой координаты  $\theta$ , т.е. при  $r \rightarrow \infty$  установившееся распределение температуры в этом материале описывает функция  $T_\infty(r, \theta) = Gr \cos \theta$ , где  $G$  — модуль вектора градиента. Эта функция удовлетворяет уравнению Лапласа,

которое в сферических координатах имеет вид

$$\frac{1}{r^2} \frac{\partial}{\partial r} \left( r^2 \frac{\partial T}{\partial r} \right) + \frac{1}{r^2 \sin \theta} \frac{\partial}{\partial \theta} \left( \sin \theta \frac{\partial T}{\partial \theta} \right) + \frac{1}{r^2 \sin^2 \theta} \frac{\partial^2 T}{\partial \varphi^2} = 0. \quad (1)$$

В данном случае благодаря параллельности заданного вектора градиента температурного поля и оси отсчета угловой координаты  $\theta$  распределение температуры симметрично относительно этой оси и не зависит от угловой координаты  $\varphi$ , т.е.  $\partial^2 T / \partial \varphi^2 \equiv 0$ .

По мере приближения к составной шаровой частице температурное поле в однородном материале претерпевает возмущение, описываемое также удовлетворяющим уравнению (1) дополнительным слагаемым [3]  $\Delta T(r, \theta) = (B/r^2) \cos \theta$ , где  $B$  — подлежащий определению постоянный коэффициент, зависящий от параметров этой частицы и искомого коэффициента теплопроводности  $\lambda$ . Замена составной шаровой частицы равновеликим шаром радиусом  $R_2$ , имеющим коэффициент теплопроводности  $\lambda$ , приведет к исчезновению возмущения температурного поля в окружающем ее однородном материале с тем же значением  $\lambda$ , что равносильно условию  $B = 0$ , позволяющему установить связь искомого коэффициента теплопроводности с заданными параметрами этой частицы.

Для получения зависимости коэффициента  $B$  от параметров составной частицы необходимо решить задачу теплового взаимодействия этой частицы и окружающего ее однородного материала. Температурное поле в однородном материале, удовлетворяющее заданному условию при  $r \rightarrow \infty$  и уравнению (1), описывает функция

$$T(r, \theta) = T_\infty(r, \theta) + \Delta T(r, \theta) = (Gr + B/r^2) \cos \theta. \quad (2)$$

Аналогичные зависимости описывают распределения температуры в шаровом включении

$$T_1(r, \theta) = (A_1 r + B_1/r^2) \cos \theta, \quad (3)$$

и в слое материала матрицы

$$T_2(r, \theta) = (A_2 r + B_2/r^2) \cos \theta. \quad (4)$$

В промежуточном слое с зависящим от радиальной координаты  $r$  коэффициентом теплопроводности  $\lambda_*(r)$  распределение температуры  $T_*(r, \theta)$  должно удовлетворять дифференциальному уравнению

$$\frac{\partial}{\partial r} \left( \lambda_* r^2 \frac{\partial T_*}{\partial r} \right) + \frac{\lambda_*}{\sin \theta} \frac{\partial}{\partial \theta} \left( \sin \theta \frac{\partial T_*}{\partial \theta} \right) = 0. \quad (5)$$

Положим  $T_*(r, \theta) = f(r) \cos \theta$  и после подстановки в уравнение (5) получим однородное обыкновенное дифференциальное уравнение (ОДУ)

$$f'' + (2/r + \lambda'_*/\lambda_*)f' - (2/r^2)f = 0 \quad (6)$$

второго порядка относительно неизвестной функции  $f(r)$  (штрих означает производную по  $r$ ).

Непрерывное изменение коэффициента теплопроводности промежуточного слоя представим зависимостью  $\lambda_*(r) = \lambda^* \exp(ar)$ , удовлетворяющую условиям  $\lambda_1 = \lambda^* \exp(aR_1)$  и  $\lambda_2 = \lambda^* \exp(aR_*)$ , из которых следует  $aR_1 = -(\ln \bar{\lambda})/(\bar{R}_* - 1)$  и  $\lambda^* = \lambda_1 \exp(aR_1)$ , где  $\bar{\lambda} = \lambda_1/\lambda_2$  и  $\bar{R}_* = R_*/R_1$ . Тогда ОДУ (6) можно представить в виде  $(f' + (a + 2/r)f)' = 0$  и после интегрирования получить ОДУ  $f' + (a + 2/r)f = A_* = \text{const}$  первого порядка, решением которого будет [4]

$$f(r) = \left( B_* + A_* \int e^{F(r)} dr \right) e^{-F(r)}, \quad F(r) = \int (a + 2/r) dr = ar + 2 \ln r,$$

где  $B_* = \text{const}$ . Если учесть, что

$$\int e^{F(r)} dx = \int r^2 e^{ar} dr = \left( \frac{r^2}{a} - \frac{2r}{a^2} + \frac{2}{a^3} \right) e^{ar},$$

то в итоге распределение температуры в промежуточном слое примет вид

$$T_*(r, \theta) = (A_*/a)(1 - 2/(ar) + 2/(ar)^2) \cos \theta + (B_*/r^2) e^{-ar} \cos \theta. \quad (7)$$

В равенства (2)...(4) и (7) входят 7 неизвестных коэффициентов  $B, A_1, B_1, A_2, B_2, A_*$  и  $B_*$ , которые необходимо найти из граничных условий на сферических поверхностях с радиусами  $R_0, R_1, R_*$  и  $R_2$ . При  $r = R_0$  из условия отсутствия теплообмена в полости шарового включения с учетом равенства (3) получим

$$\left. \frac{\partial T_1}{\partial r} \right|_{r=R_0} = (A_1 - 2B_1/R_0^3) \cos \theta = 0,$$

или

$$A_1 = 2B_1/R_0^3. \quad (8)$$

При  $r = R_1$  из условий непрерывности плотности теплового потока и распределения температуры следует

$$T_1'|_{r=R_1} = T_*'|_{r=R_1} \quad \text{и} \quad T_1(R_1, \theta) = T_*(R_1, \theta).$$

Отсюда с использованием равенств (3) и (7) находим

$$\begin{aligned} A_1 - \frac{2B_1}{R_1^3} &= A_* \left( \frac{2}{\alpha^2} - \frac{4}{\alpha^3} \right) - B_* \frac{2 + \alpha}{R_1^3} \varepsilon, \\ A_1 + \frac{B_1}{R_1^3} &= A_* \left( 1 - \frac{2}{\alpha} + \frac{2}{\alpha^2} \right) + \frac{B_* \varepsilon}{R_1^3}, \end{aligned} \quad (9)$$

где  $\alpha = aR_1$  и  $\varepsilon = \exp(-\alpha)$ . Из аналогичных условий при  $r = R_*$  с

учетом формул (4) и (7) следует

$$A_* \left( \frac{2}{\alpha_*^2} - \frac{4}{\alpha_*^3} \right) - B_* \frac{2 + \alpha}{R_*^3} \varepsilon_*, \quad A_* \left( 1 - \frac{2}{\alpha} + \frac{2}{\alpha^2} \right) + \frac{B_* \varepsilon_*}{R_*^3} = A_2 + \frac{B_2}{R_*^3}, \quad (10)$$

где  $\alpha_* = \alpha \bar{R}_*$  и  $\varepsilon_* = \exp(-\alpha_*)$ . Наконец, из подобных условий при  $r = R_2$  и соотношений (2) и (4) получим

$$A_2 - 2B_2/R_2^3 = \tilde{\lambda}(G - 2B/R_2^3) \quad \text{и} \quad A_2 + B_2/R_2^3 = G + B/R_2^3, \quad (11)$$

где  $\tilde{\lambda} = \lambda/\lambda_2$ .

Последовательным исключением из равенств (8) ... (11) неизвестных коэффициентов можно получить выражение для коэффициента  $B$ , которое является весьма громоздким. Из условия  $B = 0$  следует

$$\tilde{\lambda} = \frac{\lambda}{\lambda_2} = \frac{\alpha_*(P_1 \bar{\lambda} - P_2(\alpha_* - 1)) + \bar{R}_*^3(2P_1 \bar{\lambda}(3 + \alpha_*) + P_2 P_3) C_V}{\alpha_*(P_1 \bar{\lambda} - P_2(\alpha_* - 1)) - \bar{R}_*^3(2P_1 \bar{\lambda}(3 + \alpha_*) + P_2 P_3) C_V / 2}, \quad (12)$$

где  $P_1 = 4\alpha - \alpha^2 - 6 + (R_0/R_1)^3 \alpha(\alpha - 1)$ ,  $P_2 = 6 + 2\alpha + \alpha(R_0/R_1)^3$  и  $P_3 = \alpha^2 - 4\alpha_* + 6$ . Формула (12) сохраняет смысл при условии  $C_V \leq C_V^* = (R_1/R_*)^3$ , поскольку при  $C_V = C_V^*$  в составной частице уже отсутствует шаровой слой матрицы. В частном случае отсутствия промежуточного слоя ( $\bar{R}_*^3 = 1$ ) равенство (12) при  $R_0 = 0$  путем предельного перехода при  $\alpha \rightarrow \infty$  можно привести к известной формуле Максвелла [3]

$$\tilde{\lambda} = \frac{2 + \bar{\lambda} - 2(1 - \bar{\lambda})C_V}{2 + \bar{\lambda} + (1 - \bar{\lambda})C_V},$$

полученной на основе более простой двухфазной модели, состоящей из включения в виде сплошного шара и окружающего его материала матрицы.

Для оценки возможной погрешности формулы (12) используем двойственную вариационную формулировку задачи стационарной теплопроводности [5, 6], позволяющую получить двусторонние оценки эффективного коэффициента теплопроводности рассматриваемого композита. Область  $V$ , содержащую представительный элемент в виде половины составной частицы радиусом  $R_2$ , выберем в виде прямого цилиндра с достаточно большой площадью  $S_0$  параллельных оснований, одно из которых соответствует в сферических координатах значению  $\theta = \pi/2$ , а точки второй имеют координаты  $r \cos \theta = H$ , т.е. высота цилиндра равна  $H$ , причем  $H \gg R_2$ . Боковую поверхность цилиндра примем идеально теплоизолированной, температуру основания при  $\theta = \pi/2$  положим равной нулю, а на втором основании зададим температуру  $GH$ . Однородный материал в части области вне составной частицы имеет коэффициент теплопроводности  $\lambda$ . Таким образом, в неоднородной цилиндрической области объемом  $V_0 = HS_0$ ,

ограниченной поверхностью  $S$ , распределение температуры  $T(M)$  и коэффициент теплопроводности  $\Lambda(M)$  являются функциями координат точки  $M \in V$ , причем непрерывная функция  $\Lambda(M)$  принимает значения  $\lambda_1$  при  $r \leq R_1$ ,  $\lambda_2$  при  $R_* \leq r \leq R_2$  и  $\lambda$  при  $r \geq R_2$ , а при  $r \in (R_1, R_*)$  определена зависимостью  $\lambda_*(r) = \lambda_1 \exp(a(r - R_1))$ .

Примем в качестве допустимого для минимизируемого функционала [5]

$$J[T] = \frac{1}{2} \int_V \Lambda(M) (\nabla T(M))^2 dV(M), \quad (13)$$

где  $\nabla$  — дифференциальный оператор Гамильтона, линейное по высоте цилиндра распределение температуры с постоянной составляющей градиента  $G$ . В этом случае из формулы (13) получим

$$J_1[T] = \frac{G^2}{2} \left( \lambda H S_0 - \frac{2\pi R_2^3}{3} \lambda + 2\pi \frac{R_2^3 - R_*^3}{3} \lambda_2 + \right. \\ \left. + 2\pi \int_{R_1}^{R_*} \lambda_*(r) r^2 dr \int_0^{\pi/2} \sin \theta d\theta + 2\pi \frac{R_1^3 - R_0^3}{3} \lambda_1 \right). \quad (14)$$

Для максимизируемого функционала [5]

$$I[\mathbf{q}] = -\frac{1}{2} \int_V \frac{(\mathbf{q}(M))^2}{\Lambda(M)} dV(M) - \\ - \int_S T(P) \mathbf{q}(P) \cdot \mathbf{n}(P) dS(P), \quad P \in S, \quad (15)$$

где  $\mathbf{n}$  — единичный вектор внешней нормали к поверхности  $S$ , в качестве допустимого распределения вектора плотности теплового потока  $\mathbf{q}$  примем постоянное значение  $q = -\lambda G$  единственной составляющей этого вектора, перпендикулярной основаниям цилиндра. Тогда формула (15) примет вид

$$I_1[q] = -\frac{(\lambda G)^2}{2} \left( \frac{H S_0 - 2\pi R_2^3/3}{\lambda} + 2\pi \frac{R_2^3 - R_*^3}{3\lambda_2} + \right. \\ \left. + 2\pi \int_{R_1}^{R_*} \frac{r^2 dr}{\lambda_*(r)} \int_0^{\pi/2} \sin \theta d\theta + 2\pi \frac{R_1^3 - R_0^3}{3\lambda_1} \right) + \lambda G^2 H S_0. \quad (16)$$

Принятые допустимые распределения температуры и плотности теплового потока для неоднородной области отличаются от действительных и поэтому значения  $J_1[T]$  и  $I_1[q]$  не будут совпадать, причем  $J_1[T] > I_1[q]$ . В промежутке между этими значениями должно быть

расположено и значение  $J_0 = (\lambda/2)G^2HS_0$  минимизируемого функционала (12) для однородной области с коэффициентом теплопроводности  $\lambda$ . Тогда при  $(R_1/R_2)^3 = C_V$  с учетом формулы (14) из условия  $J_1[T] \geq J_0$  получим

$$\begin{aligned} \tilde{\lambda} \leq 1 - \bar{R}_*^3 C_V + \bar{\lambda}(1 - R_0^3/R_1^3)C_V + \\ + \frac{3C_V}{\alpha} \left( \bar{R}_*^2 - \bar{\lambda} + 2\frac{\bar{R}_* - \bar{\lambda}}{\alpha} + 2\frac{1 - \bar{\lambda}}{\alpha^2} \right) = \tilde{\lambda}_+, \end{aligned}$$

а при использовании формулы (16) из условия  $I_1[q] \leq J_0$  найдем

$$\begin{aligned} \frac{1}{\tilde{\lambda}} \leq 1 - \bar{R}_*^3 C_V + C_V \frac{1 - R_0^3/R_1^3}{\bar{\lambda}} + \frac{3C_V}{\bar{\lambda}\alpha} \left( 1 + \frac{2}{\alpha} + \frac{2}{\alpha^2} \right) - \\ - \frac{3C_V}{\alpha} \left( \bar{R}_*^2 + \frac{2\bar{R}_*}{\alpha} + \frac{2}{\alpha^2} \right) = \frac{1}{\tilde{\lambda}_-}. \end{aligned}$$

Для примера расчета примем  $R_*^3 = 2R_1^3$ , т.е.  $C_V^* = 0,5$  и  $\bar{R}_* \approx 1,260$ . На рис. 1 для случая  $R_0 = 0$  при различных значениях  $\bar{\lambda}$  приведены графики зависимостей от  $C_V \in [0, C_V^*]$  верхней  $\tilde{\lambda}_+$  (штрихпунктирные линии) и нижней  $\tilde{\lambda}_-$  (штриховые линии) оценок отношения  $\tilde{\lambda} = \lambda/\lambda_2$ . Сплошными линиями представлены графики зависимостей  $\tilde{\lambda}$ , построенные по формуле (12). Результаты аналогичных расчетов при  $C_V^* = 0,9$  ( $\bar{R}_* \approx 1,036$ ) приведены на рис. 2. Отметим, что во всех случаях  $\tilde{\lambda} = \tilde{\lambda}_+ = \tilde{\lambda}_- = 1$  при  $\bar{\lambda} = 1$ .

Из сопоставления графиков на этих рисунках следует, что при малом отклонении значения  $\bar{\lambda}$  от единицы формула (12) достаточно хорошо описывает зависимость эффективного коэффициента теплопроводности от объемной концентрации шаровых включений во всем проме-

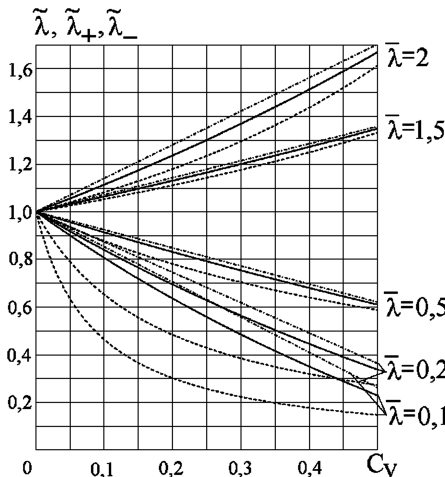


Рис. 1

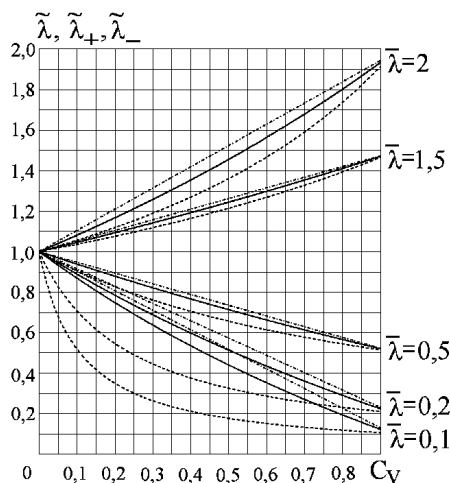


Рис. 2

жутке изменения  $C_V$ . По мере отклонения  $\bar{\lambda}$  от единицы несмотря на сближение оценок при  $C_V = C_V^*$  разность  $\tilde{\lambda}_+ - \tilde{\lambda}_-$  для промежуточных значений  $C_V$  становится значительной. Причиной этого является, видимо, использование достаточно простых допустимых распределений температуры и плотности теплового потока при вычислении функционалов. Отметим, что с уменьшением относительной толщины  $\bar{R}_* - 1$  промежуточного слоя разность  $\tilde{\lambda}_+ - \tilde{\lambda}_-$  также уменьшается.

*Работа выполнена по гранту НШ-255.2012.8 программы государственной поддержки ведущих научных школ.*

## СПИСОК ЛИТЕРАТУРЫ

1. К а ц Е. А. Фуллерены, углеродные нанотрубки и нанокластеры. Родословная форм и идей. – М.: Изд-во ЛКИ, 2008. – 296 с.
2. П о з д н я к о в В. А. Физическое материаловедение наноструктурных материалов. – М.: МГИУ, 2007. – 424 с.
3. К а р с л о у Г., Е г е р Д. Теплопроводность твердых тел: Пер. с англ. – М.: Наука, 1964. – 488 с.
4. З а й ц е в В. Ф., П о л я н и н А. Д. Справочник по линейным обыкновенным дифференциальным уравнениям. – М.: Факториал, 1997. – 304 с.
5. З а р у б и н В. С. Инженерные методы решения задач теплопроводности. – М.: Энергоатомиздат, 1983. – 328 с.
6. З а р у б и н В. С., К у в ы р к и н Г. Н. Математические модели механики и электродинамики сплошной среды. – М.: Изд-во МГТУ им. Н.Э. Баумана, 2008. – 512 с.

Статья поступила в редакцию 27.07.2012